

中国科学院
应用化学研究所集刊

第六集

科学出版社

中国科学院应用化学研究所集刊

第六集

編輯者 中国科学院应用化学研究所

出版者 科 学 出 版 社

北京朝阳门大街 117 号
北京市书刊出版业营业登记证字第 061 号

印刷者 中国科学院印刷厂

总經售 新 华 书 店

1962 年 12 月第 一 版 书号：2651 字数：98,000
1962 年 12 月第 一 次印刷 开本：787×1092 1/16
(京) 0001—1,550 印张：4 3/8

统一书号：13031·1710

定 价： 0.65 元

本社书号：2651·13-3

金屬防腐用磷酸盐的制备的研究

(摘要)

華保定、鄧秉良

为了解决磷酸盐防腐处理的原料問題，我們試驗了从錳鐵和磷酸直接制备防腐用磷酸盐的方法。該种防腐用磷酸盐通称为馬日夫盐 (соль Мажефа)；按苏联規格，其成分如下：

P ₂ O ₅	MnO	FeO	水不溶物	水分	可溶性 SO ₄ ²⁻	CaO	总酸度
46~52%	>18%	0.4~4%	<6%	<19%	<0.07%	<0.06%	25点

根据計算，这一組成实际上相当于含有一定量过剩磷酸的含水磷酸二氢錳鐵。

根据我們的研究，制訂了下列的制备過程：

将含錳量大于 75% (Mn/Fe > 5) 过量 30—270% 的錳鐵粉末逐漸地加入到 37—53% 磷酸中 (严格的配料比可按图 1 計算) 使在 100℃ 时作用。在反应完毕后趁热过滤 (过滤温度不要低于 55℃) 除去杂质，滤液冷却至 25℃ 并用离心机使結晶和母液分离，所得带有一定量母液的結晶即为防腐用磷酸盐。此时錳鐵之利用率約為 80%。

在結晶分离后所得母液中再加入計算量的錳鐵和磷酸，作用后再过滤、冷却、分离如上，就可以循环地制得防腐用磷酸盐。

在实际生产时，可以根据 MnO—P₂O₅—H₂O 系的平衡相图以及母液—結晶分离机器的分离效率 (即結晶上母液的附着量，可根据試驗測定) 而作出較合适的配料根据曲線以及在不同 P₂O₅ 量的母液中制得的磷酸盐成分的軌迹。設分离时的温度为 25℃，所得的产品中带有 20% 母液，那么所得产品的成分将落在曲線 e (图 1) 上。根据苏联規格，产品中 P₂O₅/MnO 的比值，必須在 1.78—2.45 之間，也就是说，必須在图 1 中曲線 (虛線) f, g 之間。因此，曲線 e 超出曲線 f 的部分就不能符合苏联規格的要求。如再选择循环时母液重量为結晶重量的二倍或三倍 (母液太少后析出的結晶太細，不易和母液分离；母液太多則设备的利用率較低)，那么根据相图的槓杆定理就能作出对应的配料根据曲線 (曲線 c, b)。这样，根据錳鐵的利用率 (根据我們的試驗約在 80% 左右)，就可以計算出配料时所用磷酸的浓度以及配料时磷酸和錳鐵之比。

这里應該提起，在利用相图和进行計算时，我們把錳鐵中的鐵和磷酸二氢錳鐵中的鐵都近似地算作錳。因为此时鐵含量不大，并且二价錳与二价鐵的特性相差不太远，这样不会引起很大的誤差。实际上我們的分析結果也證明，这样的假設和实际情况是非常接近的。

下面我們举一例子來說明图 1 的应用。

例：設分离所得的产品附带有 20% 的母液，采取的母液重量/結晶重量为 3，同时希望产品中 P₂O₅/MnO 的比值为 2.1，求配料时所需磷酸的用量，浓度，和錳鐵之用量。

解：表示 $P_2O_5/MnO = 2.1$ 的直線 i 交产品成分曲綫 e 于 h 。自 $Mn(H_2PO_4)_2 \cdot 3H_2O$ 点向 h 点作联線，交配料根据曲綫于 i 点，讀出 i 点的坐标为 P_2O_5 37%， MnO 10%，这

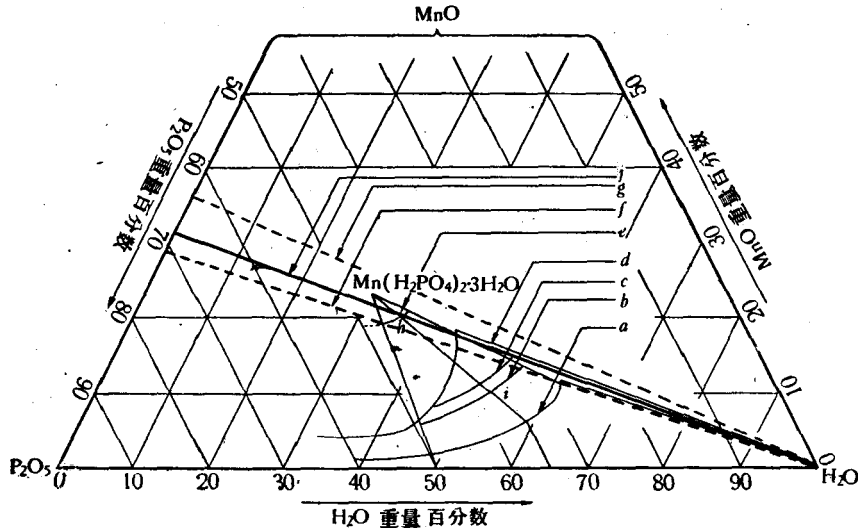


图 1 制造金属防腐用磷酸盐之参考图

- a —25°C 时之平衡曲綫;
- b —产品中母液含量为 20%，母液量/結晶重量=3 时之配料根据曲綫;
- c —产品中母液含量为 20%，母液量/結晶重量=2 时之配料根据曲綫;
- d —55°C 时之平衡曲綫;
- e —产品中母液含量为 20% 时之产品成分軌跡;
- f —合格产品中 P_2O_5/MnO 比值之下限;
- g —合格产品中 P_2O_5/MnO 比值之上限;
- i — $P_2O_5/MnO = 2.1$ 的軌跡

样所用磷酸的浓度应为(不考虑逸出的氯的重量以及水的蒸发损失):

$$\%P_2O_5 \times \frac{100}{100 - \%MnO} = 37 \times \frac{100}{(100 - 10)} = 41\%$$

每公斤产品需母液 3 公斤, 故配料时需用 41% 磷酸:

$$4 \times \frac{37}{100} \times \frac{100}{41} = 3.6 \text{ 公斤}$$

如锰铁成分为 76.5% Mn, 13.6% Fe, 并假定利用率为 80%, 则配料时须用锰铁量为:

$$4 \times \%MnO \times \frac{100}{\%Mn + \%Fe(\text{锰铁})} \times \frac{\text{锰的原子量}}{\text{氧化锰的分子量}} \times \frac{100}{80} = \\ = 4 \times \frac{10}{100} \times \frac{100}{90.1} \times \frac{55}{71} \times \frac{100}{80} = 0.44 \text{ 公斤.}$$

在以后进行循环操作时, 也可按同样原理进行计算。

应用相图的杠杆定理, 可以按上法求出当采用其他母液量/结晶量比值或是附着在结晶上的母液不等于 20% 时的产品成份曲綫和对应的配料曲綫。

此法所需设备很简单, 适合于大量生产。产品的成本远较用硫酸锰、碳酸钠和磷酸制得的为廉, 而质量则远较为优, 其中有害杂质如氧化钙、硫酸根的含量极低, 完全能满足苏联规格的要求。

(工作日期: 1954 年 3 月至 9 月)

54.7
144
6:2

中国科学院应用化学研究所集刊

第六集

目 录

3665/17

- 不銹鋼在有機酸中的鈍化行為及其陽極保護.....沈行素、華保定 (1)
關於純鉛在硫酸中的陽極氧化膜的成長速度問題.....曹楚南 (5)
- 氫氧化鑭的組成及其性質的研究.....蘇鏘、白雲起 (12)
鑭和鈸與氨三乙酸的絡合作用.....蘇鏘 (19)
草酸鑪和草酸鈸在氨三乙酸中溶解度的測定(25°C).....蘇鏘、白雲起 (25)
希土乙基硫酸鹽溶解度的測定和熱重分析.....顧浩、鍾煥邦 (29)
- 鎳在滴汞和懸汞電極上的示波極譜研究.....董紹俊、汪爾康 (36)
鉻在滴汞和懸汞電極上的示波極譜研究.....董紹俊、汪爾康 (42)
氧化銻中微量鉻、鈦及氧化鉻中微量銻、鈦的光譜測定.....黃本立、杜繼賢、朴相烈 (48)
- 天然橡膠的粘-彈性質 III. 本體粘度與粘均分子量之間的關係.....江家奇、錢保功 (54)
- 丁二烯定向聚合中杂质的影响 I. 溶剂苯中存在的几种含硫或含氧杂质的影响.....謝洪泉、李平生 (60)

實 驗 技 术

- 一種流汞電極.....陳蘭楨 (65)
用本生火焰測定液體燃料燃燒速度實驗方法的改進.....廖世健、劉逸珉 (67)

**COLLECTED PAPERS OF THE INSTITUTE OF APPLIED
CHEMISTRY, ACADEMIA SINICA**

No. VI

CONTENTS

- Passivation and Anodic Protection of Stainless Steel in Organic Acids
..... Sheng Shing-Soo & Hua Bao-Ding (1)
- On the Rate of Anodic Formation of Oxide Film on Pure Aluminium in
Sulfuric Acid Tsao Chu-Nan (5)
- Studies on the Composition and Properties of Lanthanum Hydroxide
..... Su Chiang & Bai Yun-Chi (12)
- The Complexes of Lanthanum and Neodymium with Trilon A Su Chiang (19)
- Solubilities of Oxalates of Praseodymium and Neodymium in Trilon A at 25°C
..... Su Chiang & Bai Yun-Chi (25)
- Solubilities and Thermogravimetric Analysis of Some Rare Earth Ethyl Sulphates
..... Ku Haw & Chung Hwan-Pang (29)
- A Cathode-Ray Polarographic Study of Ytterbium on Dropping and Hanging
Mercury Drop Electrodes Tung Shao-Chun & Wang Er-Kang (36)
- A Cathode-Ray Polarographic Study of Europium on Dropping and Hanging
Mercury Drop Electrodes Tung Shao-Chun & Wang Er-Kang (42)
- Spectrographic Determination of Trace Quantities of Ta and Ti in Nb₂O₅ and
Nb and Ti in Ta₂O₅ Huang Ben-Li, Du Chi-Sian & Piau Siang-Leh (48)
- The Viscoelastic Properties of Native Hevea Rubber III. The Dependence of
Bulk Viscosity on Molecular Weight Chiang Chia-Chi & Chien Pao-Kung (54)
- Effect of Impurities on the Stereospecific Polymerization of Butadiene I. The
Effect of Some Oxygen- or Sulfurcontaining Impurities Existing in the
Solvent Benzene Shieh Hong-Chuan & Li Ping-Sheng (60)

EXPERIMENTAL TECHNIQUES

- A Flowing Mercury Electrode Chen Lan-Cheng (65)
- An Experimental Improvement in the Determination of Burning Velocities of
Liquid Fuels by the Burner Method Liao Shih-Chien & Liu I-Min (67)

不锈钢在有机酸中的钝化行为及其阳极保护*

沈行素 華保定

近年来，乙酸、草酸、甲酸、乳酸、柠檬酸等有机酸工业有着迅速的发展，因此有必要为这些工业寻找适当的耐蚀材料并探索新的防蚀方法。根据文献数据，普通的铬镍不锈钢在很多有机酸溶液中的耐蚀程度均为3—5级（按5级制来划分）^[1]，即很不耐蚀。在铬镍不锈钢中加入钼能增进不锈钢抗有机酸的能力；但是，如果溶液处于沸腾的情况下，那么即使是铬镍钼不锈钢也不能耐10%以上的草酸溶液（耐蚀度为3级）、60%以上的乙酸溶液（1—3级）、50%以上的甲酸溶液（2—4级）、10%以上的乳酸溶液（1—3级）以及75%以上的酒石酸溶液（2级）。在这些介质中一般必须采用更耐蚀的高级合金钢，如X18H28M3Δ3, X23H18等^[2]。

但是除了提高合金成分以外，还存在着这样一种解决有机酸腐蚀问题的可能性，即采用普通的铬镍不锈钢或甚至无镍的不锈钢而同时采取适当的保护措施，例如阳极保护。这个工作的目的之一就是试探将阳极保护法用之于有机酸介质的可能性。

要研究阳极保护法用之于有机酸工业的可能性，首先必须了解不锈钢在有机酸中不稳定的原因，必须了解不锈钢在有机酸中的阳极行为及其钝化行为。但是迄今为止，在文献上还没有见到过这方面的记载。根据我们的初步分析，不锈钢在有机酸中的不稳定性可能是由于下列五种原因所引起的：

1. 阴离子的特殊的活化作用。例如 Г. В. АКИМОВ 就曾认为，乙酸离子等对金属的钝态有着与 Cl^- 等相类似的活化作用^[3]。
2. 阴离子的络合作用。例如草酸、柠檬酸、乳酸等对 Fe, Cr, Ni 都有着相当强烈的络合作用^[4]，这样就有可能使金属的电位移向负方并使难以钝化^[5]。
3. 有机酸的还原作用。例如大家都知道，甲酸、草酸、柠檬酸等都是相当强的还原剂，这种还原作用也可以强烈地妨碍金属的钝化。
4. 某些浓有机酸溶液（例如冰乙酸）已丧失了水溶液的一般特征，因而其钝化特征也就不同于一般水溶液。
5. 在浓、热有机酸中没有足够的氧化剂来维持钝化所需的阳极电流，因此不锈钢就不能发生自动钝化。

如果不不锈钢在有机酸中不稳定的原因主要是第1, 2, 3或第4种，那么它在外加阳极电流时就不能钝化，或是维持钝化所需电流很大，这样也就不可能采用阳极保护法，如果不不锈钢不稳定的原因属于第5种情况，那么就可以用外加电流使之钝化而得到保护。因此，研究不锈钢在有机酸中的钝化行为不但可以判断阳极保护的可能性并决定阳极保护的电位范围，并且也有助于了解不锈钢在浓热的有机酸中不稳定的原因。

* 参加这一工作的还有华秉祥同志和王玉环同志。

在这一工作中，我們用恆電位法測定了不銹鋼在几种有机酸中的極化曲線以及不銹鋼在陽極保護前后的腐蝕速度。

實驗結果及討論

極化曲線是在沸騰的條件下測定的。樣品為直徑3毫米的不銹鋼棒，在試驗前先用0號砂紙打光，水線處用聚乙烯絕緣并去油，然后放入裝有沸騰有機酸的、帶有迴流冷凝管的五口圓底燒瓶中。借助于電子管式恆電位器^[8]使不銹鋼樣品的電位維持在-400毫伏（對於標準氫電極）10—30分鐘以使其完全活化，在活化完畢後停止極化並測定其穩定電位，然後用恆電位器維持在一定電位並記下通過樣品之電流。在鈍化前電位每次改變20毫伏，在鈍化後每次改變100毫伏。在鈍化區由於電流很小而且穩定得極慢，因此採取較快速的測量方法，即如5分鐘內電流的改變不超過10%即取作為穩定值，在其他區域則等到5分鐘內電流的改變不超過1—5%取作為穩定值。

所用參比電極為硫酸亞汞電極，但圖中所示結果均已換算成對於標準氫電極之電位。液體接界電位未予校正。

1X18H9T鋼和鉻錳氮鉬鋼*（其成分为：16.83% Cr, 12.24% Mn, 0.29% N, 2.00% Mo）在沸騰的37%甲酸，70%乙酸，98%乙酸，30%草酸以及50%乳酸溶液中所測得的陽極極化曲線分別示於圖1—5中。

從圖可以看到，除了在98%的乙酸中以外，1X18H9T鋼和鉻錳氮鉬鋼在上述各種酸中都能很好地鈍化，發生穩定鈍態的電位區間也相當寬（約有400毫伏），並且維持鈍化所需電流也都小於50微安/厘米²。從此可以得出結論，即不銹鋼在這些介質中的不穩定性主要不是由於有機酸陰離子的絡合能力或其活化作用，也不是由於有機酸的還原性能，而只是由於溶液中沒有足夠的氧化劑的緣故。值得注意的是，不銹鋼在象30%沸騰的草酸溶液這樣強烈的還原劑中仍能鈍化。不但如此，維持鈍化所需的電流密度也很小（小於60

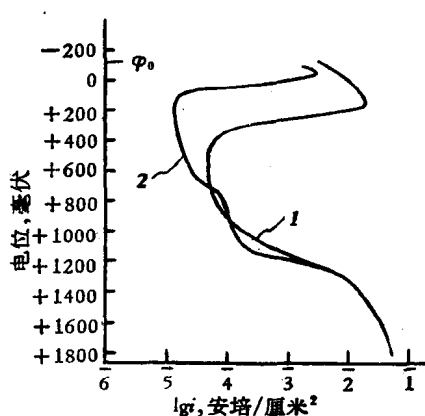


图1 (1) 1X18H9T 鋼和(2) 鉻錳氮鉬
鋼在37% 甲酸中的陽極極化曲線

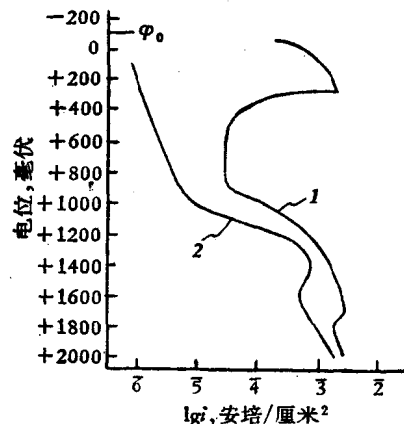


图2 (1) 1X18H9T 鋼和(2) 鉻錳氮
鋼在70% 乙酸中的陽極極化曲線

* 此鋼由中國科學院金屬研究所供給。

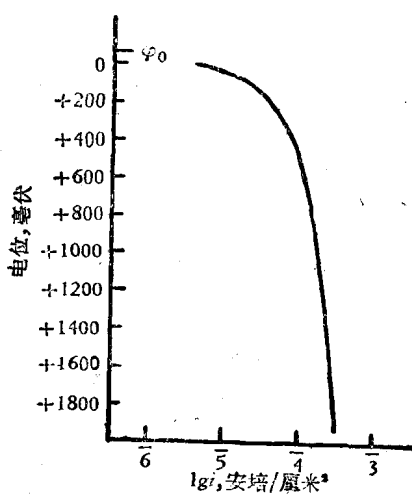


图3 1X18H9T 钢在98%乙酸中的阳极极化曲线

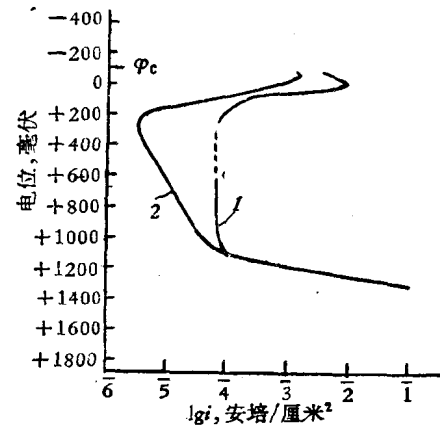


图4 (1) 1X18H9T 钢和(2) 铬锰氮组钢在30%草酸中的阳极极化曲线

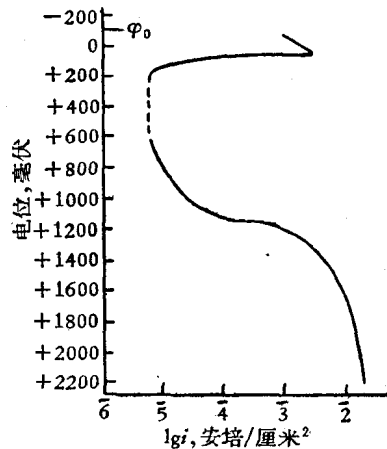


图5 1X18H9T 钢在50%乳酸中的阳极极化曲线

微安/厘米²），并且在相当宽广电位范围内不随着电位之变正而急剧增加，这说明即使象草酸这样强烈的还原剂在钝化了的不锈钢上的氧化速度是很低的。看来钝化膜的存在对于有机酸的电化学氧化过程产生了显著的阻滞作用。

图3表明1X18H9T钢在98%的乙酸中的阳极行为是很特殊的。阳极极化曲线的斜率极大，说明不锈钢似乎不处于通常的活化状态，但同时却又观察不到显著的钝化过程。对于这种现象目前尚不能加以解释。

在测定极化曲线的同时，还试验了阳极保护的实际效果。为实际工作的方便起见，这里采用了铂电极作参比电极。在所用的有机酸中，铂电极对于氯电极的电位都在+300毫伏附近。从图1—5可见，只要将不锈钢的电位维持在对铂为+100~+500毫伏，就能达到稳定的钝化状态；在测定自动腐蚀速度前预先将不锈钢样品在硫酸中阴极活化处理5分钟。不同的钢样在有机酸中的自动腐蚀速度和阳极保护（电位对铂电极为+100毫伏）后的腐蚀速度示于表1。

表 1 不锈钢在沸腾有机酸溶液中的腐蚀速度和阳极保护的效果

钢 号	介 质	浓 度	保护前腐蚀速度 克/米 ² ·小时	保护后腐蚀速度 克/米 ² ·小时	保 护 效 率
1X18H9T	甲 酸	37%	7.0	0.02	99.7%
	乙 酸	70%	1.8	0.02	99.2%
	乙 酸	98%	0.96	1.7	—
	草 酸	30%	2.3	0.05	97.8%
	乳 酸	50%	4.2	0.08	98.0%
铬 锰 氮 钼 钢	甲 酸	37%	6.1	0.05	99.2%
	草 酸	30%	14.8	0.06	99.6

从表 1 可以看到，腐蚀试验的结果与极化曲线的结果完全一致，除了在 98% 乙酸中以外保护效率都达到 98—99% 以上，而消耗的电流一般均在 20 微安/厘米² 左右*，这样在这些介质中阳极保护是完全可行的。

阳极保护后，铬锰氮钼钢和 1X18H9T 钢一样有着极高的耐蚀性，因而可以代替后者。这些结果也表明，对于含有甲酸的不纯乙酸来说，采用阳极保护的方法也许是解决其严重腐蚀问题^[7]的很好方法之一。

摘 要

研究了 1X18H9T 不锈钢和铬锰氮钼不锈钢在沸腾的甲酸、乙酸、草酸、乳酸中的阳极行为。结果证明，虽然有机酸有着相当强的还原能力与络合能力，两种不锈钢在上述有机酸中都能很好钝化（98% 乙酸除外），并且维持钝化所需阳极电流也很小（在 20 微安/厘米² 以下）。因此，在有机酸工业中有可能采用阳极保护法来保护普通的不锈钢以代替更高级的合金钢，此时保护效率达 98% 以上。

参 考 文 献

- [1] A. A. Бабаков, "Нержавеющие стали, свойства и химическая стойкость в различных агрессивных средах", Москва, Госхимиздат, 1956.
- [2] А. Л. Лабутин, "Коррозия и способы защиты оборудования в производстве органических кислот и их производных", Москва, Госхимиздат, 1959.
- [3] Г. В. 阿基莫夫, “金属腐蚀理论及其研究方法”(中译本) 156 页, 科学出版社, 1958.
- [4] J. Bjerrum, "Stability Constants of Metal-ion Complex, Part I, Organic Ligands", The Chemical Society, Burlington House, w, 1, 1957.
- [5] Н. Д. Томашов, "Теория коррозии и защиты металлов", стр. 278, Изд-во АН СССР, 1959
- [6] M. H. Roberts, British Journal of Applied Physics, 5, 351 (1954).
- [7] Wetternik u. Zitter, Werkst. u. Korr. 6, 282 (1955).

* 这一电流之所以较极化曲线上维持钝化所需电流小，显然是由于钝化程度随着时间而得到加强的缘故。

关于純鋁在硫酸中的阳极氧化膜的成长速度問題

曹 楚 南

由于鋁在硫酸中的阳极氧化是工业上应用得最为广泛的保护鋁及鋁合金的方法，因此近二十年来关于純鋁在硫酸中的阳极氧化进行了很多研究工作^[1-11]，詳細研究了各种因素对于氧化膜重量(或厚度)变化、鋁样品的重量(或厚度)变化、膜比(参阅本文第三节)等等的影响。Г. В. АКИМОВ 等^[1]并根据了他們对氧化膜成长速度的研究結果，制訂了快速的阳极氧化方法。

本文試图根据已有的有关这方面的实验資料，对于純鋁在硫酸中的阳极氧化膜的成长速度的問題，进行理論的探討。

一、氧化膜的重量与电解时间的关系

鋁在硫酸中进行阳极氧化时，同时进行氧化膜的化学溶解过程。因此，氧化膜的成长速度應該等于氧化膜的生成速度与氧化膜的化学溶解速度之差值。氧化膜的化学溶解乃是氧化膜同电解液的异相反应。在温度及电解液(硫酸)浓度恒定时，反应速度正比于电解液与氧化膜的接触界面。因而

$$\left(\frac{-dg_{\text{氧化}}}{d\tau}\right)_{\text{溶解}} = k'(A_p + A_s), \quad (1)$$

式中： $g_{\text{氧化}}$ ——鋁样品的表觀面积为单位值时，氧化膜的重量，克/分米²； τ ——电解時間，秒； A_p ——鋁样品的表觀面积为单位值时，氧化膜微孔的內壁面积，分米²/分米²； A_s ——鋁样品的表觀面积为单位值时，氧化膜的外壁表面积，分米²/分米²； k' ——当电解液的浓度和温度一定时为常数，克/秒·分米²。

現在已經确定^[12-14]，氧化膜中的微孔呈垂直于样品表面的柱形。微孔的平均直径只决定于鋁的品种与电解液的本質，而与电解液浓度、温度和电流密度等电解条件无关。在这情况下，孔的內壁面积應該正比于膜的厚度或膜的重量。因此，对于一定的电解条件可以得出：

$$A_p = k'' g_{\text{氧化}} \quad (2)$$

式中： k'' ——比例系数，分米²/克。

A_s 近似地与 $g_{\text{氧化}}$ 无关。誠然，在氧化膜的成长过程中，膜的外壁表面积可能有一些改变。但是当膜不是太薄时， $A_s \ll A_p$ ，因此在計算过程中可以近似地視 A_s 为一常数。于是，仿照(2)式可以写出

$$A_s = k'' s. \quad (3)$$

式中： s ——近似地为一常数，克/分米²。

从方程式(1)，(2)，(3)得到：

$$\left(\frac{-dg_{\text{氧化}}}{d\tau}\right)_{\text{溶解}} = k(g_{\text{氧化}} + s). \quad (4)$$

式中: $k = k'k''$ ——常数, 秒⁻¹.

因此, 氧化膜的增重速度, 亦即氧化膜的成长速度, 应为:

$$\frac{dg_{\text{氧化}}}{d\tau} = \frac{i}{96500} \times \frac{M_{\text{Al}_2\text{O}_3 \cdot n\text{H}_2\text{O}}}{6} - k(g_{\text{氧化}} + s). \quad (5)$$

式中: $M_{\text{Al}_2\text{O}_3 \cdot n\text{H}_2\text{O}}$ ——氧化膜的分子量; i ——阳极电流密度, 安/分米².

将方程式(5)积分并注意起始条件: $\tau = 0$, $g_{\text{氧化}} = 0$, 得到:

$$g_{\text{氧化}} = \left(\frac{M_{\text{Al}_2\text{O}_3 \cdot n\text{H}_2\text{O}}}{57.9k} \times 10^{-4}i - s \right) (1 - e^{-kt}), \quad (6)$$

或

$$g_{\text{氧化}}^{\circ} = g_{\text{氧化}}^{\circ}(1 - e^{-kt}). \quad (7)$$

$$g_{\text{氧化}}^{\circ} = \frac{M_{\text{Al}_2\text{O}_3 \cdot n\text{H}_2\text{O}}}{57.9k} \times 10^{-4}i - s. \quad (8)$$

当 τ 很大时, $g_{\text{氧化}}$ 趋近于定值 $g_{\text{氧化}}^{\circ}$ (膜的极限增重), 而后者, 当硫酸的浓度和温度一定时, 仅决定于阳极电流密度 i . 这些论断都已为实验^[6,7,11]证实.

如果已从实验求得 $g_{\text{氧化}}^{\circ}$ 与相应于各电解时间 τ 的 $g_{\text{氧化}}$ 的数值, 那末不必详细知道 $M_{\text{Al}_2\text{O}_3 \cdot n\text{H}_2\text{O}}$ (或 n) 与 s 的数值, 便可以按(7)式计算 k 值. 反之, 知道各电流密度下的 k 值和 $g_{\text{氧化}}^{\circ}$ (或相应于各 τ 值的 $g_{\text{氧化}}$) 值后, 可以利用(8)式 [或(6)式] 求氧化膜的分子量和 s 值. 例如根据陈俊明等的实验^[6], $C_{\text{H}_2\text{SO}_4} = 20\%$, $\tau = 20^\circ\text{C}$, $i = 0.75$ 安/分米² 时, $g_{\text{氧化}}^{\circ} = 0.549$ 克/分米². 据这一组实验数据求出 $k = 2.3 \times 10^{-4}$ 秒⁻¹. 利用这一 k 值并根据上述作者在同样的 $C_{\text{H}_2\text{SO}_4}$ 和 τ , $i = 1.5$ 安/分米² 时的实验数据, 按(7)式求出该条件下 $g_{\text{氧化}}^{\circ}$ 的平均值为 1.12 克/分米²^[1]. 利用这两个电流密度下的 $g_{\text{氧化}}^{\circ}$ 值, 按(8)式计算出:

$$M_{\text{Al}_2\text{O}_3 \cdot n\text{H}_2\text{O}} = 100 \approx 102, n = 0$$

本文不拟详细探讨氧化膜的成分问题. 这里只是指出, 在误差范围以内, 可以认为氧化膜的分子量等于 Al_2O_3 的分子量(102). 据此 $s = 0.03$ 克/分米².

利用求得的 k 和 s , 对陈俊明等的实验条件 ($C_{\text{H}_2\text{SO}_4} = 20\%$, $\tau = 20^\circ\text{C}$, $i = 0.75, 1.5, 2.5, 4$ 安/分米²) 计算所得氧化膜增重与电解时间的关系曲线同他们实验结果的比较列于图 1. 按同样方法对 R. B. Mason 与 C. J. Slunder 的实验条件^[7] ($C_{\text{H}_2\text{SO}_4} = 15\%$, $i = 12$ 安/分米² 或即 1.29 安/分米²) 计算的结果同他们的实验结果的比较列于图 2. 在后一计算中, 由于 s 值的影响不大, 采取了同上一计算中相同的 s 值(0.03 克/分米²). 此时计算所得 k 值为: $k_{37.8^\circ\text{C}(100^\circ\text{F})} = 10 \times 10^{-4}$ 秒⁻¹, $k_{24.1^\circ\text{C}(70^\circ\text{F})} = 1.7 \times 10^{-4}$ 秒⁻¹.

在图 1 中, 当 $i = 4$ 安/分米² 时, 计算值都高于实验值, 虽然从生成电压的影响考虑起来, 似乎应当得出相反的情况. 其原因显然在于溶液搅拌不够剧烈, 氧化膜中的焦耳热量不能迅速传出, 氧化膜的温度实际上高于控制的温度, 以致在抵销了生成电压的影响后, k 的实际值仍大于所取数值 (2.3×10^{-4} 秒⁻¹).

1) 这里采取了这样的假定: 当电流密度变化范围不大时, k 值近似地与电流密度无关. 这是近似的. 因为实际上 $k'' = k'''m$. m 为铝样品表面积为单位时氧化膜中的微孔数(或即所谓氧化膜的基团数), 它与生成电压有关^[18,14]. 按照它同生成电压间的关系考虑, k 值应随 i 增大而下降. 此外, 还有下面要谈到的因焦耳热量而引起测定 k 值的误差也同 i 有关. 但当电流密度变化范围不大时, 这两种影响不大. 且电流密度变化时对 k 值的这两种影响的方向相反, 可以部分抵消.

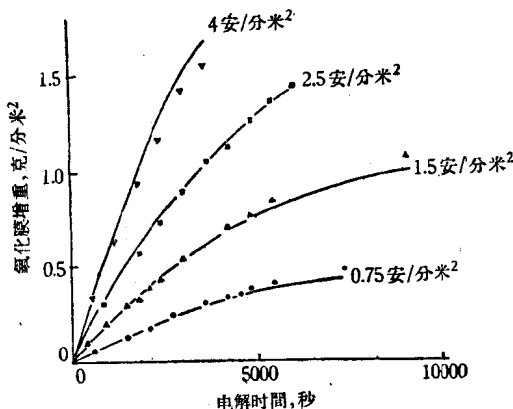


图1 氧化膜增重的理論計算值与實驗值^[6]的比較
硫酸浓度: 20%; i : 20°C; $k = 2.3 \times 10^{-4}$ 秒⁻¹;
——理論曲綫。

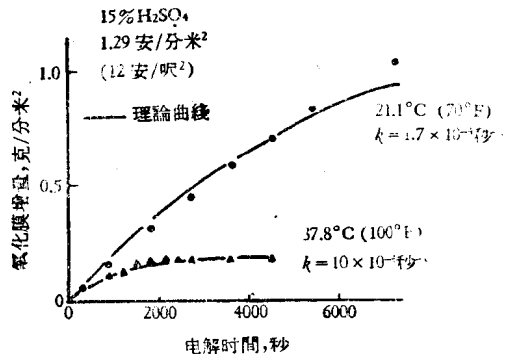


图2 氧化膜增重的理論計算值与
實驗值的比較

二、鋁樣品的重量变化与电解時間的关系

很多作者^[1,6,9,10]都从實驗中发现, 在恒电流下进行鋁的阳极氧化时, 鋁樣品的重量(或厚度)起先随着电量(或电解時間)的增加而增加, 达最大值后, 随着時間下降。最后, 鋁樣品的增重可以成为負值。

鋁樣品的重量变化等于氧化膜的重量 [方程式 (6)] 与参加电极反应的鋁的重量 $(g_{Al} = \frac{i\tau}{96500} \times \frac{A_{Al}}{3} = 0.933 \times 10^{-4} i\tau)$ 之差:

$$\Delta g = \left(\frac{1.76 \times 10^{-4} i}{k} - s \right) (1 - e^{-k\tau}) - 0.933 \times 10^{-4} i\tau \quad (9)$$

$$\frac{d(\Delta g)}{d\tau} = (1.76 \times 10^{-4} i - ks) e^{-k\tau} - 0.933 \times 10^{-4} i \quad (10)$$

当 $\frac{d(\Delta g)}{d\tau} = 0$ 时, Δg 达最大值 $\Delta g_{\text{最大}}$ 。此时的电解時間 $\tau_{\text{最大}}$ 为:

$$\tau_{\text{最大}} = \frac{2.303}{k} \log \frac{1.76 \times 10^{-4} i - ks}{0.933 \times 10^{-4} i} \quad (11)$$

在实际应用的普通阳极氧化条件下, $ks \ll 1.76 \times 10^{-4} i$ 。因此方程式 (11) 可以近似地写成:

$$\tau_{\text{最大}} \approx \frac{2.303}{k} \log \frac{1.76}{0.933} = \frac{0.635}{k} \quad (12)$$

由此得出, 在一定的硫酸浓度和溫度下, 当 i 变化范围不大时, 达到鋁樣品增重的最大值所需电解時間近似地与电流密度无关。这一推断已为實驗証明。如果将陈俊明等的實驗数据在 $\Delta g - \tau$ 坐标系統中繪制曲綫圖, 便可以发现这一点(图3)。

I. M. Плотников^[15]認為, 当鋁樣品的增重大达最大值时, 氧化膜的保护性能最好。如果这一意見正确, 那么在知道了該电解条件下的 k 值后, 可以按照(12)式預先确定最合适 的电解時間。

應該注意，鋁樣品厚度達到最大值所需電解時間 τ' 一般地並不與上述 τ 重合。容易證明：

$$\tau'_{\text{最大}} = \tau_{\text{最大}} + \frac{2.303}{k} \log \frac{D_{Al}}{D_{\text{氧化}}} \quad (13)$$

式中 D_{Al} ——鋁的密度， $D_{\text{氧化}} \approx 2.54$ 克/厘米³——氧化膜的表面密度。 $D_{\text{氧化}} < D_{Al}$ ，因此鋁樣品厚度最大值的出現應遲於其增重最大值的出現。實驗結果^[16]正是這樣。

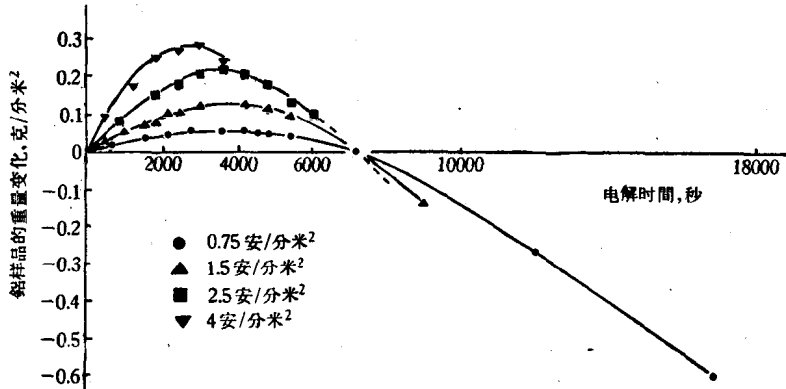


图 3 鋁樣品重量变化与电解时间的关系(根据陈俊明等^[16]的
实验数据繪成。硫酸浓度: 20%, t : 20°C)

从式(9)和(12)，求得鋁樣品的最大增重 $\Delta g_{\text{最大}}$ 的近似值为

$$\Delta g_{\text{最大}} \approx \frac{0.236}{k} \times 10^{-4} i - s \quad (14)$$

因而，在一定电解条件下鋁樣品的最大增重近似地与阳极电流密度成线性关系。按(14)

式計算的結果與陳俊明等的實驗結果的比較見圖4。在圖上，電流密度為4安/分米²時，由於上面曾經解釋過的原因，實驗值低於計算值。

如以 τ_0 表示達 $\Delta g = 0$ (原點除外) 所需電解時間，則從(9)式，並注意到一般條件下 $ks \ll 1.76 \times 10^{-4} i$ ，可得

$$\tau_0 \approx \frac{1.89}{k} (1 - e^{-ks}) \quad (15)$$

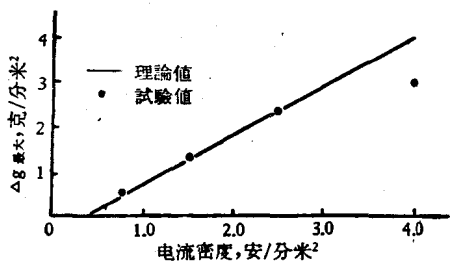


图 4 $\Delta g_{\text{最大}}$ 的計算值与實驗值的比較

於是我們得到：當鋁樣品的重量變化第二次為零時，所需電解時間近似地與電流密度无关。圖3上的曲線符合這一結論。

三、關於膜比的問題

膜比是氧化膜重量與參加電極反應的鋁的重量的比值。Mason 等^[7]與 Spooner^[11]曾研究了電解條件對膜比值的影響。如氧化膜的分子式為 Al_2O_3 ，那麼在沒有化學溶解作用時，理論的膜比值應為 1.89。由於實際上存在着化學溶解作用，因此膜比的實際值一般小於理論值。從(6)式可得膜比的方程式為：

$$CR = \frac{1}{0.933k\tau} \left(1.76 - \frac{ks}{i} \times 10^4 \right) (1 - e^{-ks}) \quad (16)$$

以之对 i , τ 和 k 求偏微分, 得到

$$\frac{\partial(CR)}{\partial i} = \frac{s \times 10^4}{0.933i^2\tau} (1 - e^{-k\tau}) \quad (17)$$

$$\frac{\partial(CR)}{\partial \tau} = -\frac{g_{\text{氧化}}^{\circ}}{0.933 \times 10^{-4}i\tau^2} e^{-k\tau} \sum_{n=2}^{\infty} \frac{(k\tau)^n}{n!} \quad (18)$$

$$\begin{aligned} \frac{\partial(CR)}{\partial k} &= \frac{1.89}{k^2\tau} e^{-k\tau} \left[1 - e^{k\tau} + k\tau \left(1 - \frac{ks \times 10^4}{1.76i} \right) \right] \\ &\simeq -\frac{1.89}{k^2\tau} e^{-k\tau} \sum_{n=2}^{\infty} \frac{(k\tau)^n}{n!} \quad (ks \ll 1.76 \times 10^{-4}i) \end{aligned} \quad (19)$$

由于 τ , i , s 和 k 均为正值, $\frac{\partial k}{\partial t} > 0$, 且 k 值中还包含了 $C_{\text{H}_2\text{SO}_4}$, 而在一般情况下 $\frac{\partial k}{\partial C_{\text{H}_2\text{SO}_4}} > 0$, 故从方程式(17)—(19)可得:

$$\frac{\partial(CR)}{\partial i} > 0 \quad (20)$$

$$\frac{\partial(CR)}{\partial \tau} < 0 \quad (21)$$

$$\frac{\partial(CR)}{\partial t} = \frac{\partial(CR)}{\partial k} \cdot \frac{\partial k}{\partial t} < 0 \quad (22)$$

$$\frac{\partial(CR)}{\partial C_{\text{H}_2\text{SO}_4}} = \frac{\partial(CR)}{\partial k} \cdot \frac{\partial k}{\partial C_{\text{H}_2\text{SO}_4}} < 0 \quad (23)$$

方程式(20)—(23)表明电解条件变更时膜比值的变化情况, 这些推論同实验^[7]符合。

Mason 与 Slunder^[7] 曾用外推法測定了电解時間为零时的膜比值 (CR_0), 并設想 CR_0 相当于沒有化学溶解作用的理論值。但他們測得的 CR_0 值小于 1.89。于是他們認為有一部分鋁是不組成氧化膜而直接溶入溶液的。他們并根据这一假設进行了氧化膜的化学溶解速度的計算。按照他們的假設所应得出的合理結論显然是, 在一定的电解条件下 CR_0 值与电流密度无关。然而他們的实验結果却表明, CR_0 随着电流密度的增大而增大。

从方程式(16)可以得到:

$$CR_0 = \lim_{t \rightarrow 0} CR = 1.89 - \frac{ks \times 10^4}{0.933i} < 1.89 \quad (24)$$

方程式(24)的物理意义很清晰, 这就是:

$$CR_0 = \frac{(\text{单位時間內氧化鋁膜的理論生成量}) - (\text{单位時間內单分子氧化鋁层的溶解量})}{(\text{单位時間內参加电极反应的鋁的量})}$$

从方程式(24)得到 $\frac{\partial(CR_0)}{\partial i} > 0$, 这样便很好地解释了 Mason 等的实验結果。

四、氧化膜的化学溶解反应的活化能

在陈俊明等的实验^[6]中($20\% \text{ H}_2\text{SO}_4$, 1.5 安/分米², 4200 秒), 除 20℃ 时的 k 值已求出为 2.3×10^{-4} 外, 尚有下列数据:

$t^{\circ}\text{C}$	10	30	40
$g_{\text{氧化}} \text{ 克/分米}^2$	0.834	0.348	0.094

取 $s = 0.03 \text{ 克/分米}^2$, 計算得在 20% H_2SO_4 溶液中各溫度下的 k 值如下:

$t^{\circ}\text{C}$	10	20	30	40
$k \times 10^4, \text{ 秒}^{-1}$	1.0	2.3	6.5	20

前面已經利用 Mason 等的實驗數據計算出在 15% H_2SO_4 溶液中:

$t^{\circ}\text{C}$	21.1(70°F)	37.8(100°F)
$k \times 10^4, \text{ 秒}^{-1}$	1.7	10

將這些數值在 $\log k - \frac{1}{T}$ 座標系統中作圖, 并根據下式計算氧化膜的化學溶解反應的表觀活化能:

$$Q = \frac{\operatorname{tg} \beta}{2.303R} = 4.575 \operatorname{tg} \beta \text{ 卡/克分子}$$

對於陳俊明等的實驗數據求得 $\operatorname{tg} \beta \approx 4.1 \times 10^3$, $Q \approx 1.9 \times 10^4 \text{ 卡/克分子}$. 對於 Mason 等的實驗數據求出 $\operatorname{tg} \beta \approx 4.4 \times 10^3$, $Q \approx 2.0 \times 10^4 \text{ 卡/克分子}$ (圖 5).

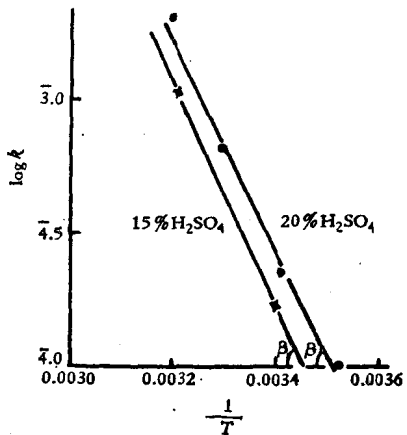


图 5 氧化膜化学溶解反应的
表观活化能的计算

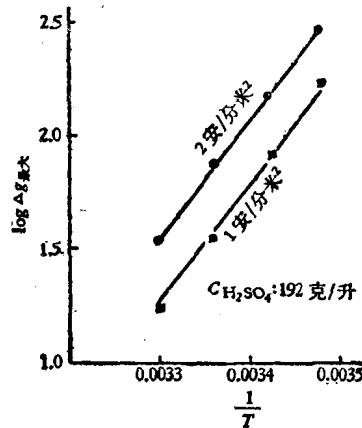


图 6 $\log \Delta g_{\text{最大}} - \frac{1}{T}$ 图(数据取自文献 [15]),
 $\Delta g_{\text{最大}}$ 为毫克/分米²)

按照(14)式, 在實驗測定了 $\Delta g_{\text{最大}}$ 后, 不必知道 k 值, 就可以按 $\log \Delta g_{\text{最大}} - \frac{1}{T}$ 座標系統中的直線的斜率, 近似地求出 Q 值。例如, 用 ПЛОТНИКОВ 關於 $\Delta g_{\text{最大}}$ 的實驗數據(文獻 [15] 中圖 7)在 $\log \Delta g_{\text{最大}} - \frac{1}{T}$ 座標中繪圖(圖 6), 求出 $Q \approx 2.3 \times 10^4 \text{ 卡/克分子}$.

摘要

純鋁在硫酸溶液中陽極氧化時, 氧化膜的增重與電解時間的關係, 可以表示成動力學公式。從這一公式出發, 可以進一步闡釋有關氧化膜極限增重、鋁樣品的重量及厚度變

化、膜比等一系列問題。據不同作者的實驗結果，計算出氧化膜在硫酸溶液中的化學溶解反應的表觀活化能為 $1.9—2.3 \times 10^4$ 卡/克分子。

參 考 文 獻

- [1] Г. В. Акимов, Н. Д. Томашов и М. Н. Тюкина, *Ускоренные методы защиты изделий от коррозии*, Изд. АН СССР, 7—24 (1946).
- [2] Н. Д. Томашов и М. Н. Тюкина, *Исследования по коррозии металлов*, 1, 110—125 (1951).
- [3] Н. Д. Томашов и А. В. Бялобжеский, *ibid.*, 136—145 (1951).
- [4] Н. Д. Томашов и А. В. Бялобжеский, *ibid.*, 4, 99—113 (1955).
- [5] Н. Д. Томашов и А. В. Бялобжеский, *ibid.*, 114—124 (1955).
- [6] 陈俊明、高亢之、万传银、余柏年, 中国科学院应用化学研究所集刊, 第五集, 29—34 (1961).
- [7] R. B. Mason & C. J. Slunder, *I. E. C.*, 39, 1602 (1947).
- [8] G. Ellsner, *Aluminium*, 25, 310 (1943).
- [9] S. Wernick, *J. Electro-depos. Tech. Soc.*, 9, 153—176 (1934).
- [10] M. Shenk, *Werkstoff Aluminium u seine anodische Oxidation*; A. Fracke A. G., Borne (1948) [見 S. Wernick & R. Pinner, *The Surface Treatment & Finishing of Aluminium & Its Alloys*, Robert Draper Ltd., 218 (1956)].
- [11] R. C. Spooner, *J. Electrochem. Soc.*, 102, 156—162 (1955).
- [12] F. Keller, M. S. Hunter & D. L. Robinson, *ibid.*, 100, 411—419 (1953).
- [13] М. Н. Тюкина, Ф. П. Заливалов, Н. Д. Томашов, *Исследования по коррозии металлов*, 5, 165—174 (1959).
- [14] Ф. П. Заливалов, М. Н. Тюкина и Н. Д. Томашов, *Жур. физ. хим.*, 35, 879—885 (1961).
- [15] И. М. Плотников, *Жур. прик. хим.*, 30, 1321—1325 (1957).
- [16] М. Н. Тюкина и Н. Д. Томашов, *Исследования по коррозии металлов* [2], 127—135 (1951).